

P11

Oleguinos Gutierrez

20677580-7

Comenzamos de las ecuaciones hidrodinámicas, del tensor energía - momento

$$\delta \mathcal{P} = \frac{1}{\alpha^3} \int_P \Delta f \bar{E}$$

$$\delta P = \frac{1}{3} \frac{1}{\alpha^3} \int_P \Delta f \frac{1}{\bar{E}} \frac{P^2}{\alpha^2}$$

$$\delta \mathcal{U} = \frac{1}{\alpha(\bar{P} + \bar{\mathcal{P}})} \int_P P^i \frac{1}{V^2} \partial_i \Delta f$$

$$\pi_{ij} = \frac{1}{\alpha^3} \int_P \Delta f \frac{1}{\bar{E}} \cdot \frac{1}{\alpha^2} (P_i P_j - P^2 \frac{1}{3} \delta_{ij})$$

$$\text{donde } \int_P \equiv \int \frac{d^3 P}{(2\pi)^3} \quad \text{y} \quad \Delta f = -\bar{E} \partial_{\bar{E}} f \quad \textcircled{H}$$

$$\textcircled{H} \equiv \frac{\Delta T}{T} \text{ la perturbación de temperatura}$$

\bar{E} la energía no perturbada

Tener en mente que usaremos $\textcircled{H}(\vec{x}, \vec{P}, t) = \textcircled{H}(\vec{x}, P, \hat{P}, t)$ ya que generalmente \textcircled{H} dependerá debilmente de P pero no de \hat{P}

Reemplazamos Δf en las ecuaciones

$$\delta \mathcal{P} = -\frac{1}{\alpha^3} \int_P \bar{E}^2 \partial_{\bar{E}} f \textcircled{H}$$

$$\delta P = -\frac{1}{3\alpha^3} \int_P \frac{P^2}{\alpha^2} \textcircled{H} \partial_{\bar{E}} f$$

$$\delta \mathcal{U} = -\frac{1}{\alpha(\bar{P} + \bar{\mathcal{P}})} \int_P P^i \frac{1}{V^2} \bar{E} \partial_{\bar{E}} f \partial_i \textcircled{H}$$

$$\pi_{ij} = -\frac{1}{\alpha^3} \int_P \partial_{\bar{E}} f \textcircled{H} \frac{1}{\alpha^2} (P_i P_j - P^2 \frac{1}{3} \delta_{ij})$$

$$\text{usando } \int_P = \int \frac{d^3 P}{(2\pi)^3} = \left(\frac{1}{2\pi^2} \right) \int \frac{d\Omega_P}{4\pi} \int P^2 dP$$

$$\delta \mathcal{P} = -\frac{1}{\alpha^3} \frac{1}{2\pi^2} \int \frac{d\Omega_P}{4\pi} \int P^2 dP \textcircled{H} \bar{E}^2 \partial_{\bar{E}} f$$

$$\delta P = -\frac{1}{3\alpha^3} \frac{1}{2\pi^2} \int \frac{d\Omega_P}{4\pi} \int P^2 dP \frac{P^2}{\alpha^2} \textcircled{H} \partial_{\bar{E}} f$$

$$\delta \mathcal{U} = -\frac{1}{\alpha(\bar{P} + \bar{\mathcal{P}})} \frac{1}{2\pi^2} \int \frac{d\Omega_P}{4\pi} \int P^2 dP P^i \frac{1}{V^2} \bar{E} \partial_{\bar{E}} f \partial_i \textcircled{H}$$

$$\pi_{ij} = -\frac{1}{\alpha^3 2\pi^2} \int \frac{d\Omega_P}{4\pi} \int P^2 dP \partial_{\bar{E}} f \textcircled{H} \frac{1}{\alpha^2} (P_i P_j - P^2 \frac{1}{3} \delta_{ij})$$

↓

$$\delta P = \int \frac{d\Omega_P}{4\pi} \cdot \frac{-1}{\alpha^3 2\pi^2} \int P^z dP \bar{E}^z \partial_E f \quad \textcircled{H} = \left(T \frac{\partial \bar{P}}{\partial T} \right) \int \frac{d\Omega_P}{4\pi} \quad \textcircled{H}(\vec{x}, \hat{P}, t) \quad (1)$$

equiv. u defini

$$\textcircled{H}(\vec{x}, \hat{P}, t) = - \left(T \frac{\partial \bar{P}}{\partial T} \right)^{-1} \frac{1}{2\pi\alpha^3} \int dP P^z \bar{E}^z \partial_E f$$

$$\cdot \textcircled{H}(\vec{x}, P, \hat{P}, t)$$

u identifikation

$$\delta u = \frac{-1}{\alpha^3 (\bar{P} + P)} \frac{1}{2\pi^2} \frac{1}{\nabla^2} \partial_i \int \frac{d\Omega_P}{4\pi} \int P^z \cdot P \cdot \hat{P}^i dP \bar{E} \partial_E f \quad \textcircled{H}$$

$$= \bar{E} \cdot \alpha$$

$$= \frac{-\alpha}{\alpha^3 (\bar{P} + P)} \frac{1}{2\pi^2} \frac{1}{\nabla^2} \partial_i \int \frac{d\Omega_P}{4\pi} \int P^z \bar{E}^z dP \partial_E f \quad \textcircled{H} \hat{P}^i$$

$$= \left(T \frac{\partial \bar{P}}{\partial T} \right)^{-1} \frac{\alpha}{(\bar{P} + P)} \frac{1}{\nabla^2} \int \frac{d\Omega_P}{4\pi} \partial_i \textcircled{H}(\vec{x}, \hat{P}, t) \cdot \hat{P}^i \quad (2)$$

$$\delta P = \frac{1}{3} \cdot \frac{-1}{2\pi^2 \alpha^3} \cdot \int \frac{d\Omega_P}{4\pi} \int P^z \cdot \bar{E}^z \partial_E f \quad \textcircled{H} = \frac{1}{3} \left(T \frac{\partial \bar{P}}{\partial T} \right) \int \frac{d\Omega_P}{4\pi} \cdot \textcircled{H}(\vec{x}, \hat{P}, t) \quad (3)$$

$$P = \bar{E} \cdot \alpha$$

$$\delta P = \frac{1}{3} \delta \bar{P}$$

$$\tilde{\Pi}_{ij} = \frac{1}{3} \cdot \frac{-1}{2\pi\alpha^3} \int \frac{d\Omega_P}{4\pi} \int P^z dP \partial_E f \quad \textcircled{H} \frac{1}{\alpha^2} (P_i P_j - P^2 \frac{1}{3} \delta_{ij})$$

$$\bar{E}^z \alpha^2 \hat{P}_i \hat{P}_j \quad \bar{E}^z \alpha^2$$

$$= \frac{1}{3} \cdot \frac{-1}{2\pi\alpha^3} \int \frac{d\Omega_P}{4\pi} (\hat{P}_i \hat{P}_j - \frac{1}{3} \delta_{ij}) \int P^z dP \bar{E}^z \partial_E f \quad \textcircled{H}$$

$$= \frac{1}{3} \left(T \frac{\partial \bar{P}}{\partial T} \right) \cdot \int \frac{d\Omega_P}{4\pi} \textcircled{H}(\vec{x}, \hat{P}, t) (\hat{P}_i \hat{P}_j - \frac{1}{3} \delta_{ij}) \quad (4)$$

ahora descomponemos la fluctuación de temperatura en 2 contribuciones

$$\Theta(\vec{x}, \hat{p}, t) = \Theta^S(\vec{x}, \hat{p}, t) + \Theta^T(\vec{x}, \hat{p}, t)$$

\downarrow origen escalar \downarrow origen tensorial

\rightarrow aquí nos enfocamos en la escalar por es la que genera $\delta\rho, \delta\phi, \delta u$ y Π_{ij} , la otra son ondas gravitacionales.

Trabajamos en espacio de Fourier (\vec{k} es la escala de la perturbación)

$$\Theta^S(\vec{x}, \hat{p}, t) \rightarrow \tilde{\Theta}^S(\vec{k}, \hat{p}, t) \rightarrow \tilde{\Theta}^S(\vec{k}, \mu, t)$$

\hookrightarrow aquí $\mu \equiv \hat{k} \cdot \hat{p} = \cos(\alpha)$ esto se puede hacer ya que Θ depende de \hat{k} y \hat{p} , es conveniente porque μ admite una expansión cómoda en polinomios de Legendre:

$$\tilde{\Theta}^S(\vec{k}, \mu, t) = \sum_l \frac{(2l+1)}{i^l} P_l(\mu) \tilde{\Theta}_l^S(\vec{k}, t)$$

$$\text{aquí } \tilde{\Theta}_l^S(\vec{k}, t) = \frac{i^l}{2} \int_{-1}^1 d\mu \cdot \tilde{\Theta}^S(\vec{k}, \mu, t) P_l(\mu)$$

\triangleleft esta expresión es equivalente a la expresión en \hat{p} de la obra anterior

Vamos que ocurre en las perturbaciones:

$$(1) \Rightarrow \delta\mathcal{P} = \left(T \frac{\delta\bar{\mathcal{P}}}{\delta T} \right) \int \frac{d\Omega_p}{4\pi} \cdot \underbrace{\Theta^S(\vec{x}, \hat{p}, t)}_{\text{reemplazamos la sumatoria al pasar a Fourier}}$$

$$\delta\tilde{\mathcal{P}} = \left(T \frac{\delta\bar{\mathcal{P}}}{\delta T} \right) \sum_l \frac{(2l+1)}{i^l} \tilde{\Theta}_l^S(\vec{k}, t) \int \frac{d\Omega_p}{4\pi} \cdot P_l(\mu)$$

aquí usamos el \hat{z} de coordenadas esféricas como $\hat{k} \Rightarrow \cos(\alpha) = \cos\theta_p = \mu$

$$\Rightarrow \int \frac{d\Omega_p}{4\pi} P_l(\mu) = \underbrace{\int_0^{2\pi} d\phi_p}_{2\pi} \underbrace{\int_{-1}^1 d\mu}_{P_0(\mu)=1} \frac{d\mu}{4\pi} P_l(\mu) = \frac{1}{2} \int_{-1}^1 d\mu P_l(\mu) P_0(\mu) = \frac{\delta_{l0}}{2l+1}$$

$\int P_l P_l d\mu = \frac{2\delta_{ll}}{(2l+1)}$

$$\Rightarrow \delta \tilde{\mathcal{P}} = \left(T \frac{\delta \bar{\mathcal{P}}}{\delta T} \right) \tilde{\mathcal{H}}_0^s(\bar{\mathbf{R}}, t)$$

$$\delta \mathcal{P} = \delta \mathcal{P}/3$$

$$\Rightarrow \delta \tilde{\mathcal{P}} = \frac{1}{3} \left(T \frac{\delta \bar{\mathcal{P}}}{\delta T} \right) \tilde{\mathcal{H}}_0^s(\bar{\mathbf{R}}, t)$$

alors $\delta \mathcal{U}$

$$(2) \Rightarrow \delta \mathcal{U} = \left(T \frac{\delta \bar{\mathcal{P}}}{\delta T} \right) \frac{\alpha}{(\bar{\mathcal{P}} + \bar{\mathcal{P}})} \frac{1}{V^2} \int \frac{d\Omega_P}{4\pi} \partial_i \mathcal{H}(\bar{\mathbf{x}}, \hat{\mathbf{P}}, t) \hat{P}^i$$

$$\text{En Fourier } \nabla^{-2} \rightarrow k^{-2} \quad \partial_i \rightarrow -i k_i = -i R \hat{\mathbf{R}}_i$$

$$\delta \tilde{\mathcal{U}} = \left(T \frac{\delta \bar{\mathcal{P}}}{\delta T} \right) \frac{\alpha}{(\bar{\mathcal{P}} + \bar{\mathcal{P}})} \cdot k^{-2} \cdot \int \frac{d\Omega_P}{4\pi} \cdot (-i) R \hat{\mathbf{R}}_i \hat{P}^i \sum_{\mu} \frac{(2l+1)}{i^l} P_l(\mu) \tilde{\mathcal{H}}_l^s(\bar{\mathbf{R}}, t)$$

$$= \left(T \frac{\delta \bar{\mathcal{P}}}{\delta T} \right) \frac{\alpha}{(\bar{\mathcal{P}} + \bar{\mathcal{P}})} \frac{(-i)}{R} \int_0^{2\pi} d\theta_P \int_{-1}^1 \frac{d\mu}{4\pi} \mu \sum_l \frac{(2l+1)}{i^l} P_l(\mu) \tilde{\mathcal{H}}_l^s(\bar{\mathbf{R}}, t)$$

$$= \left(T \frac{\delta \bar{\mathcal{P}}}{\delta T} \right) \frac{\alpha}{(\bar{\mathcal{P}} + \bar{\mathcal{P}})} \frac{(-i)}{R} \frac{1}{2} \sum_l \frac{(2l+1)}{i^l} \tilde{\mathcal{H}}_l^s(\bar{\mathbf{R}}, t) \underbrace{\int_{-1}^1 d\mu \cdot \mu P_l(\mu)}_{P_1(\mu) = \mu}$$

$$= \int_{-1}^1 d\mu \cdot P_1(\mu) P_l(\mu) = \frac{2 \delta_{l1}}{(2l+1)}$$

$$= \left(T \frac{\delta \bar{\mathcal{P}}}{\delta T} \right) \frac{\alpha}{(\bar{\mathcal{P}} + \bar{\mathcal{P}})} \frac{(-i)}{R} \frac{3}{i} \tilde{\mathcal{H}}_1^s(\bar{\mathbf{R}}, t) \frac{1}{3}$$

$$\delta \tilde{\mathcal{U}} = - \left(T \frac{\delta \bar{\mathcal{P}}}{\delta T} \right) \frac{\alpha}{(\bar{\mathcal{P}} + \bar{\mathcal{P}})} \cdot \frac{\alpha}{R} \tilde{\mathcal{H}}_1^s(\bar{\mathbf{R}}, t)$$

Calculating $\delta \Pi_{ij}$

$$(4) \Rightarrow \tilde{\Pi}_{ij} = \frac{1}{3} \left(T \frac{\partial \bar{\mathcal{P}}}{\partial T} \right) \cdot \int_0^{2\pi} d\phi_p \int_{-1}^1 \frac{d\mu}{4\pi} \sum_{\ell} \frac{(2\ell+1)}{i^{\ell}} P_{\ell}(\mu) \tilde{\Theta}_{\ell}^s(\bar{k}, t) \cdot (\hat{p}_i \hat{p}_j - \frac{1}{3} \delta_{ij})$$

$$\tilde{\Pi}_{ij} = \frac{1}{3} \left(T \frac{\partial \bar{\mathcal{P}}}{\partial T} \right) \frac{1}{2} \sum_{\ell} \frac{(2\ell+1)}{i^{\ell}} \tilde{\Theta}_{\ell}^s(\bar{k}, t) \int_{-1}^1 d\mu P_{\ell}(\mu) (\hat{p}_i \hat{p}_j - \frac{1}{3} \delta_{ij})$$

$\underbrace{\quad}_{\bullet 1 = \frac{\hat{k}^i \hat{k}^j}{\hat{k}^i \hat{k}^i}}$

$$= \frac{1}{3} \left(T \frac{\partial \bar{\mathcal{P}}}{\partial T} \right) \frac{1}{2} \sum_{\ell} \frac{(2\ell+1)}{i^{\ell}} \tilde{\Theta}_{\ell}^s(\bar{k}, t) \int_{-1}^1 d\mu P_{\ell}(\mu) \left(\frac{\mu^2}{\hat{k}^i \hat{k}^i} - \frac{1}{3} \delta_{ij} \right)$$

$\underbrace{\quad}_{\text{if } i=j \Rightarrow \hat{k}^i \hat{k}^i = 1}$

$$= \int_{-1}^1 d\mu P_{\ell}(\mu) \left(\mu^2 - \frac{1}{3} \right)$$

$$= 3 \int_{-1}^1 d\mu P_{\ell}(\mu) (3\mu^2 - 1)$$

$\underbrace{\quad}_{= P_2(\mu) \cdot 2}$

$$= 6 \cdot \frac{2\delta_{\ell 2}}{(2\ell+1)}$$

$i=j$

$$\Rightarrow \tilde{\Pi} = \frac{1}{3} \left(T \frac{\partial \bar{\mathcal{P}}}{\partial T} \right) \frac{1}{2} \frac{1}{i^2} \tilde{\Theta}_2^s(\bar{k}, t) \cdot 6 \cdot 2$$

$$\tilde{\Pi} = -2 \left(T \frac{\partial \bar{\mathcal{P}}}{\partial T} \right) \tilde{\Theta}_2^s(\bar{k}, t)$$

PZ/ $\dot{N} + i k \mu N = -\dot{\Phi} - i k \mu \Phi$

Expandimos en polinomios de Legendre $N(\bar{r}, \mu, t) = \sum_l \frac{(2l+1)}{i^l} P_l(\mu) N_l(\bar{r}, t)$

\Downarrow

$$\sum_l \frac{(2l+1)}{i^l} P_l(\mu) \dot{N}_l + i k \mu \sum_l \frac{(2l+1)}{i^l} P_l(\mu) N_l = -\dot{\Phi} - i k \mu \Phi$$

recordar $P_0(\mu) = 1$ $P_1(\mu) = \mu$ $P_2(\mu) = \frac{1}{2}(3\mu^2 - 1)$

$l=0$

$$\dot{N}_0 + i k \mu N_0 = -\dot{\Phi} - i k \mu \Phi$$

$l=1$

$$-3i\mu \dot{N}_1 + i k \mu (-3i)\mu N_1 = -i k \mu \Phi$$

$$= -3i\mu \dot{N}_1 + 3k\mu^2 N_1 = -i k \mu \Phi$$

$l=2$

$$-5 \frac{1}{2}(3\mu^2 - 1) \dot{N}_2 + i k \mu (-5) \frac{1}{2}(3\mu^2 - 1) N_2 = -i k \mu \Phi$$

$$= -15\mu^2 \dot{N}_2 + \frac{5}{2} \dot{N}_2 - i k \mu^3 15 N_2 + i k \mu \frac{5}{2} N_2 = -i k \mu \Phi$$

juntados por orden de magnitud en μ :

orden 0 $\Rightarrow \boxed{\dot{N}_0 + \frac{5}{2} \dot{N}_2 = -\dot{\Phi}}$

orden 1 $\Rightarrow i k \mu N_0 - 3i\mu \dot{N}_1 + i k \mu \frac{5}{2} N_2 = -i k \mu \Phi$ $/ \cdot \frac{1}{-i\mu} \cdot \frac{1}{3}$

$$\Rightarrow \boxed{\dot{N}_1 - \frac{k}{3} N_0 - \frac{k}{6} N_2 = \frac{k}{3} \Phi}$$

orden 2 $\Rightarrow 3k\mu^2 N_1 - 15\mu^2 \dot{N}_2 = 0$

$$\Rightarrow \boxed{\dot{N}_2 - \frac{1}{5} N_1 = 0}$$

P3] $\rho_a(\vec{x}, t) = \bar{\rho}_a(t, \delta t(\vec{x}, t))$

Primero las condiciones iniciales, al ser iniciales se dan en un momento muy otro en el tiempo donde todas las perturbaciones eran superhorizon, es decir que en escala $\lambda > R_H \Rightarrow \delta \rho$ no crece.

Aquí $\rho(t, \vec{x}) = \bar{\rho}(t) + \delta \rho(t, \vec{x})$ con $\bar{\rho}$ el Background y $\delta \rho$ la perturbación, pero como esta última no crece si nos desplazamos un delta de tiempo $\delta t(\vec{x}, t)$
 $\rho(t, \vec{x}) = \bar{\rho}(t + \delta t(t, \vec{x})) \Rightarrow$ la densidad evoluciona como el Background pues $\delta \rho$ no puede crecer.

Ahora sabemos que δt es un desplazamiento en el tiempo pequeño. Pero además en este momento inicial todas las especies se encuentran en equilibrio térmico pues están acoplados en el baño térmico. Así para distintas especies en igual escala el δt es el mismo, pues además entraron al horizonte al mismo tiempo. $\Rightarrow \delta t_a(\vec{x}, t) = \delta t_b(\vec{x}, t) \Rightarrow$ "función universal"

$$\Rightarrow \frac{\delta \rho_a}{\dot{\bar{\rho}}} = \frac{\delta \rho_b}{\dot{\bar{\rho}}} \quad (\text{si se aplica un Taylor a } \bar{\rho})$$

$$\Rightarrow \frac{\delta \rho_a(t, \vec{x})}{\bar{\rho}_a + \bar{p}_a} = \frac{\delta \rho_b(t, \vec{x})}{\bar{\rho}_b + \bar{p}_b} \quad \text{condición inicial adiabática}$$

P4) Comenzamos desde las ecuaciones por el fluido visto en AX:

$$\delta' = -\left(1 + \frac{\bar{P}}{\bar{S}}\right) \cdot (\nabla \vec{v} - 3\Phi') - 3H \left(\frac{\delta P}{\delta S} - \frac{\bar{P}}{\bar{S}} \right) \delta \quad \text{continuidad}$$

$$\vec{v}' = -\left(H + \frac{\bar{P}'}{\bar{S} + \bar{P}}\right) \vec{v} - \frac{1}{\bar{S} + \bar{P}} \nabla \delta P - \nabla \Phi \quad \text{Euler}$$

aquí al incluir los bariones al plasma la relación $\bar{P} = \frac{1}{3} \bar{P}$ cambia por la $\underbrace{\frac{1}{3}}_{c_s^2}$
 aproximación tight coupling aquí $c_s^2 = 1/3 \rightarrow c_s^2 = \frac{1}{3(1+R)} = \frac{1}{3m_{\text{eff}}}$

con m_{eff} la masa efectiva del oscilador y $R \equiv \frac{3\rho_b}{4\rho_{\text{gr}}} > 0 \Rightarrow c_s$ disminuye

Desarrollando el término proporcional a δ en la ec. de continuidad

$$\text{desaparece pues } P \propto S \Rightarrow \frac{\delta P}{\delta S} - \frac{\bar{P}}{\bar{S}} = c_s^2 - c_s^2 = 0$$

y el H en la ecuación de Euler se cancela con $\frac{\bar{P}'}{\bar{S} + \bar{P}}$

II) Aproximamos $R \sim \text{constante}$, pues para nuestro análisis servirá

$$\delta' = -\left(1 + \frac{\bar{P} \cdot c_s^2}{\bar{S}}\right) (\nabla \vec{v} - 3\Phi') \quad / (1)'$$

$$\vec{v}' = -\frac{1}{\bar{S}(1+c_s^2)} \nabla (c_s^2 \delta P) - \nabla \Phi$$

$$/ \frac{\delta S}{\bar{S}} = \delta \quad / \nabla$$

$$\Rightarrow \delta'' = -(1+c_s^2) (\nabla \vec{v}' - 3\Phi'')$$

$$\nabla \vec{v}' = -\frac{1}{(1+c_s^2)} \cdot c_s^2 \cdot \nabla^2 \delta - \nabla^2 \Phi$$

↓ reemplazamos ∇^2 en la primera ecuación

$$\delta'' = -(1+c_s^2) \left(-\frac{1}{1+c_s^2} \cdot c_s^2 \nabla^2 \delta - \nabla^2 \Phi - 3\Phi'' \right)$$

$$\delta'' = \underbrace{c_s^2 \nabla^2 \delta}_{\text{presión rad}} + \underbrace{(1+c_s^2) \nabla^2 \Phi}_{\text{grav.}} + \underbrace{3(1+c_s^2) \Phi''}_{\text{rel. términos R.G.}}$$

En Fourier

$$\delta'' + c_s^2 k^2 \delta = -k^2 (1+c_s^2) \Phi + 3(1+c_s^2) \Phi''$$

$\Phi \approx \text{constante}$

$$\Rightarrow \delta'' + \frac{1}{3(1+R)} k^2 \delta = -k^2 \underbrace{\left(1 + \frac{1}{3(1+R)} \right)}_{\frac{4+3R}{3(1+R)}} \Phi$$

$$\delta'' = -\frac{1}{3(1+R)} k^2 \delta - \frac{4k^2}{3(1+R)} \Phi - \frac{3Rk^2}{3(1+R)} \Phi$$

$$\text{Sea } S = \frac{\delta_r}{4} + \Phi \Rightarrow S'' = \frac{\delta_r''}{4}$$

$$4S'' = -\frac{k^2}{3(1+R)} \cdot (\delta + 4\Phi + -3R\Phi)$$

$$S'' = \frac{-k^2}{3(1+R)} \left(\underbrace{\frac{\delta}{4} + \Phi}_{S_{\text{original}}} + \underbrace{\frac{3R}{4}\Phi}_{\text{offset a S}} \right)$$

3

si usamos $S_2 = \frac{\delta}{4} + \Phi + \frac{3R}{4}\Phi$

obtenemos un oscilador armónico: $S_2'' = -c_s^2 \cdot R^2 S_2$ pero con una frecuencia también distinta al caso de los fotones.

aún así antes teníamos $S = \frac{\delta}{4} + \Phi \Rightarrow S(\bar{R}, \eta) = A(\bar{R}) \cos\left(\frac{K}{\sqrt{3}} \eta\right) + B(\bar{R}) \sin\left(\frac{R}{\sqrt{3}} \eta\right)$

Ahora con una frecuencia distinta se define el horizonte de

sonido $\eta_s(\eta) = \int_0^\eta d\eta' c_s(\eta') = \frac{\eta}{\sqrt{3(1+R)}}$ y de la ecuación $S'' = -R^2 c_s^2 S - \frac{3R}{4} R^2 c_s^2 \Phi$

$\Rightarrow S(\bar{R}, \eta) = A(\bar{R}) \cos\left(\frac{K}{\sqrt{3(1+R)}} \eta\right) + B(\bar{R}) \sin\left(\frac{R}{\sqrt{3(1+R)}} \eta\right) + \Delta$

con Δ el offset de la solución particular $\Rightarrow \Delta'' = c_s^2 R^2 \Delta - \frac{3R}{4} R^2 c_s^2 \Phi \Rightarrow \Delta = \frac{-3R}{4} \Phi$

$\Rightarrow S(\bar{R}, \eta) = A(\bar{R}) \cos(K \cdot \eta_s) + B(\bar{R}) \sin(K \eta_s) + \Delta$

aquí $S(\bar{R}, \eta) = T_s(K, \eta) \cdot \mathcal{P}(\bar{R}, 0)$

aquí $\mathcal{P} \sim \text{constante} \Rightarrow \dot{\mathcal{P}} = 0 \Rightarrow \dot{S} = 0 \Rightarrow B = 0$

$S(\bar{R}, \eta) = A(\bar{R}) \cos(K \cdot \eta_s) + \Delta$
 $\underbrace{\hspace{1cm}}_{\mathcal{P}} \quad \underbrace{\hspace{1cm}}_{\propto \mathcal{P}}$

↓

$$S(\tilde{R}, \eta) = \underbrace{R(\cos(R \cdot \tilde{r}_s) + C)}_{T_S(R, \eta)}$$

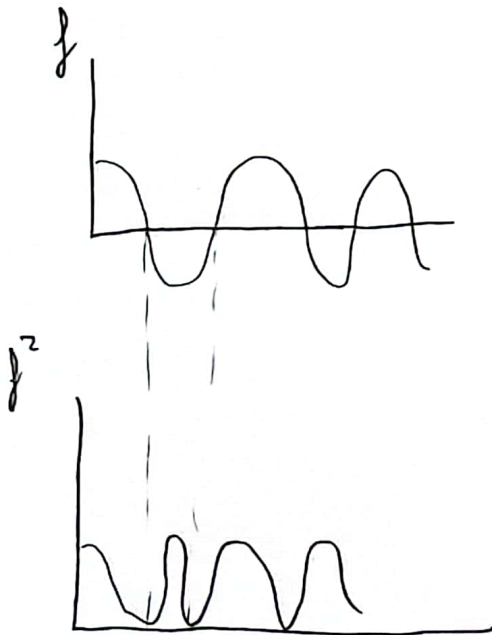
$$\Rightarrow T_S(R, \eta^*) \propto \cos(R \cdot \tilde{r}_s^*) + C$$

contribución dominante a un lado
 $\Rightarrow R \sim \frac{1}{x_x}$ — constante $\sim 146 \text{ me}$

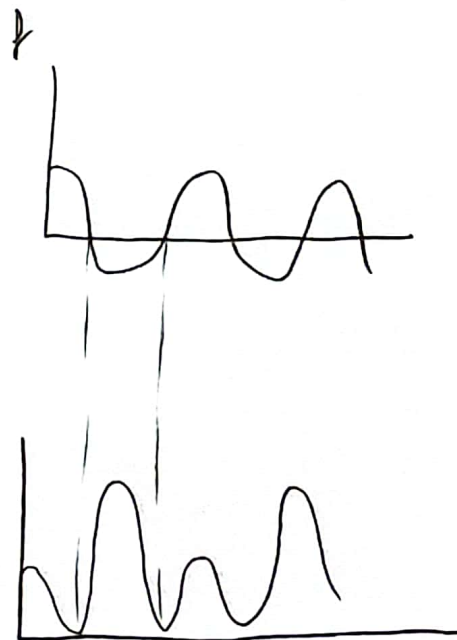
donde a diferencia del caso no con rad. cambia la frecuencia y se añade una constante a la temperatura

$$\Rightarrow C_e \propto \left(\cos\left(\frac{1}{x_x} \cdot \tilde{r}_s^*\right) + C \right)^2$$

\Rightarrow antes no con rad.



ahora con el offset



\Rightarrow Los bariones contribuyen a aumentar los picos impares de C_e en el CMB, atenuan los pares y cambian la frecuencia de las oscilaciones.

P5] Primeros notor que la función de transferencia describe la evolución de las perturbaciones a través de los epochs al cruzar por la transición rad/mat. En general se tiene que el potencial Φ es:

$$\Phi(\vec{k}, a) \approx \Phi_p(\vec{k}) \cdot T(k) \cdot D_1(a)$$

\downarrow
 potencial primordial
 (creado por inflación)

\downarrow
 func. de trans.
 (evolución de la perturbación o través de los epochs)

\swarrow
 func. de crecimiento
 (evolución independiente de la escala en tiempos tardíos)

En particular $\Phi(\vec{k}, a) = \frac{9}{10} \cdot \Phi_p(\vec{k}) T(k) \cdot \frac{D_1(a)}{a}$

Y Φ se relaciona con la variación de materia δ por la ecuación de Poisson, es decir se puede llegar a $\delta(\vec{k}, a) = \frac{3}{5} \cdot \frac{k^2}{\Omega_m H_0^2} \cdot \Phi_p(\vec{k}) \cdot T(k) \cdot D_1(a)$ (*)

\Rightarrow ya tenemos una relación $\delta \leftrightarrow T$, ahora la idea es resolver las ecuaciones de Einstein y de Boltzmann para δ y así relacionar ese resultado con (*) para determinar $T(k)$ en algún régimen (super o sub-horizon)

En particular usaremos las ecuaciones de Boltzmann para materia:

(1) $\dot{\delta} + i k v = -3 \dot{\Phi}$

además de la ecuación para Φ :

(2) $\dot{v} + \frac{\dot{a}}{a} v = i k \Phi$

(3) $k^2 \Phi = 4\pi G a^2 [\rho_{dm} \delta + 4\rho_r (\Theta_{r,0} + \frac{3aH}{k} (i\rho_{dm} v + 4\rho_r \Theta_{r,1}))]$

al definir $y \equiv \frac{a}{a_q} = \frac{\rho_{dm}}{\rho_r}$ y hacer el cambio de variable

$\frac{d}{dn} = \frac{dy}{dn} \frac{d}{dy} = \Omega_H y \frac{d}{dy}$ \rightarrow se obtiene

↓

$$(4) \delta' + \frac{iRv}{aHy} = -3\Phi$$

$$(6) R^2 \Phi = \frac{3y}{2(y+1)} a^2 H^2 \delta$$

$$(5) v' + \frac{v}{y} = \frac{iR\Phi}{aHy}$$

derivando (4) y usando (5) para borrar v .

$$\Rightarrow \delta'' - \frac{iR(2+3y)v}{2aHy^2(1+y)} = -3\Phi'' + \frac{R^2\Phi}{a^2H^2y^2}$$

$\Phi'' < R^2$
 nos estamos en el caso sub-horizonte (ondas pequeñas)

$\frac{3y a^2 H^2 \delta}{2(y+1) \cdot a^2 H^2 y^2} = \frac{3\delta}{2(y+1)y}$

el v lo

podemos eliminar con la ecuación (4) y dejamos Φ'' nuevamente.

$$\Rightarrow \delta'' + \frac{2+3y}{2y(y+1)} \delta' - \frac{3}{2y(y+1)} \delta = 0$$

→ esta ecuación nos dice como evolucionan las perturbaciones de materia en el caso sub-horizonte.

Esta ecuación tiene una solución:

$$\boxed{\delta(R, y) = C_1 \cdot D_1(y) + C_2 \cdot D_2(y)} \quad (7) \text{ válida para } y \gg y_H$$

el factor de onda cuando el modo entra al horizonte

con $D_1(y) = y + 2/3$

$$D_2(y) = D_1(y) \cdot \ln\left(\frac{\sqrt{1+y}+1}{\sqrt{1+y}-1}\right) - 2\sqrt{1+y}$$

Por otro lado de las ecuaciones (1) y (2), por esta vez sin hacer ningún cambio de variable:

$$(1) \quad \ddot{\delta} + ikr\dot{v} = -3\dot{\Phi} \Rightarrow \ddot{\delta} + ikr\dot{v} = -3\dot{\Phi}$$

$$(2) \quad \dot{v} + \frac{\dot{a}}{a}v = ikr\Phi \quad \text{reemplazo para eliminar } v$$

$$\Rightarrow \ddot{\delta} + ikr\left(-\frac{\dot{a}}{a}v + ikr\Phi\right) = -3\dot{\Phi} \quad / \text{con (1)}$$

$$\Rightarrow \ddot{\delta} + ikr\left(-\frac{\dot{a}}{a}(-3\dot{\Phi} - \ddot{\delta})\frac{1}{ikr} + ikr\Phi\right) = -3\dot{\Phi}$$

$$\Rightarrow \ddot{\delta} + \frac{\dot{a}}{a}\dot{\delta} = -3\ddot{\Phi} + k^2\Phi - \frac{3\dot{a}}{a}\dot{\Phi}$$

$$\text{aquí } \frac{\dot{a}}{a} = \frac{1}{\eta}$$

$$\Rightarrow \ddot{\delta} + \frac{1}{\eta}\dot{\delta} = S(k, \eta) \quad \text{con } S(k, \eta) = -3\ddot{\Phi} + k^2\Phi - \frac{3}{\eta}\dot{\Phi}$$

aquí se tiene la solución homogénea más la particular

$$\delta(k, \eta) = c_1 + c_2 \ln(\eta) + \int_0^\eta d\eta' S(k, \eta') \eta' (\ln[k\eta'] - \ln[k\eta])$$

Por las condiciones iniciales $\delta \sim \text{cte}$ en $\eta = 0 \Rightarrow c_2 = 0$ y $c_1 = \delta(k, 0) = \frac{3\dot{\Phi}_p}{2}$

de la integral se espera que el término $S(\eta') \ln(k\eta')$ tienda a una constante pues a medida que crece η , $S \rightarrow 0$ y $\ln \rightarrow \infty$, en cambio $S(\eta') \cdot \ln(k\eta)$ será simplemente proporcional a $\ln(k\eta)$ dado que no se integra

$$\Rightarrow \text{la solución tendrá la forma } \delta(k, \eta) = \underbrace{A \Phi_p \ln(B)}_{\text{constante}} \cdot \underbrace{\ln(k\eta)}_{\text{proporcional a } k\eta} = A \Phi_p \ln(Bk\eta)$$

Ahora de dicha ecuación $\delta(k, y) = A \Phi_p \ln(BR y)$

la igualamos a (7), que es nuestra otra solución en $\delta(k, y)$

$$A \Phi_p \ln\left(\frac{By_m}{y_H}\right) = C_1 D_1(y_m) + C_2 D_2(y_m) \quad \text{con } y_H \ll y_m \ll 1$$

\downarrow
variable

Enta se puede derivar en y_m

$$\Rightarrow \frac{A \Phi_p}{y_m} = C_1 D_1'(y_m) + C_2 D_2'(y_m)$$

$$\text{dependiendo } C_1 \Rightarrow C_1 = \frac{D_2'(y_m) A \ln(By_m/y_H) - D_2(y_m) \cdot (A/y_m)}{D_1(y_m) D_2'(y_m) - D_1'(y_m) D_2(y_m)} \Phi_p$$

dado que $y \ll 1$ se puede aproximar:

$$C_1 \rightarrow -\frac{9A \Phi_p}{A} \left[-\frac{2}{3} \ln\left(\frac{By_m}{y_H}\right) - \left(\frac{2}{3}\right) \ln(1/y_m) + 2 \right]$$

con esto y volviendo de $y \rightarrow a$

$$\boxed{\delta(\vec{k}, a) = \frac{3A \Phi_p(\vec{k})}{2} \ln\left[\frac{4B e^{-3} a_H}{a_H}\right] D_1(a)} \quad a \gg a_H \quad (8)$$

Aquí en todos los términos $\frac{a_H}{a_H} = \sqrt{z} \frac{R}{R_H}$ y si reemplazamos (8) en

$$\text{la primera ecuación } \Phi(\vec{k}, a) = \frac{3}{5} \frac{k^2}{\Omega_m H_0^2} \cdot \Phi_p(\vec{k}) T(k) D_1(a)$$

$$\Rightarrow T(k) = \frac{5A \Omega_m H_0^2}{2k^2 a_H} \ln\left[\frac{4B e^{-3} \sqrt{z} k}{k_H}\right] \quad k \gg k_H$$

$$\text{definiendo } k_H \equiv a_H H(a_H) = \sqrt{z} H_0 a_H^{-1/2}$$

$$\Rightarrow \boxed{T(k) = \frac{12k_H^2}{k^2} \ln\left(\frac{k}{8k_H}\right)} \quad k \gg k_H$$

P71 $\xi(x_1, x_2) = \xi(x_1) \xi(x_2)$

En un universo homogéneo, se tiene invariancia traslacional, es decir ξ solo importa de la distancia y dirección de donde se mida de manera separada

$$\Rightarrow \xi(x_1, x_2) = \xi(x_1 - x_2)$$

Por otro lado en una isotropía el ángulo no importará tampoco, así ξ solo depende del módulo de la distancia y no donde se mire.

$$\xi(x_1, x_2) = \xi(|x_1 - x_2|)$$

P8] $\delta(\vec{R}) = \int d^3r \delta(\vec{r}) e^{i\vec{R} \cdot \vec{r}}$
 $\xi(\vec{R}) = \int \frac{d^3R}{(2\pi)^3} P(\vec{R}) e^{-i\vec{R} \cdot \vec{r}}$

Sabemos de clase que el power spectrum se define como:

$P(\vec{R}) = V |\delta(\vec{R})|^2 = V \delta(\vec{R}) \delta(\vec{R})^*$ / notamos que $\delta(\vec{R}) \delta(\vec{R})^*$ es la transformada de Fourier de la cantidad por en el espacio real.

$\Rightarrow P(\vec{R}) = \frac{1}{V} \int \delta(\vec{x}) \cdot \delta(\vec{y}) e^{-i\vec{R} \cdot (\vec{x} - \vec{y})} dV_x dV_y$

Para aquí $\xi(\vec{r}) = \langle \delta(\vec{y} + \vec{r}) \delta(\vec{y}) \rangle = \frac{1}{V} \int \delta(\vec{y} + \vec{r}) \delta(\vec{y}) dV_y$
 ↓
 debido a la "def. de ξ "

con $\vec{r} = \vec{x} - \vec{y}$
 entonces se ve que $P(\vec{R}) = \int \xi(\vec{r}) e^{-i\vec{R} \cdot \vec{r}} dV$

si asumimos isotropía $\Rightarrow \xi(\vec{r}) \rightarrow \xi(|\vec{r}|)$ (no depende del ángulo)

$\vec{R} \cdot \vec{r} \rightarrow R \cdot r \cos \theta$ $dV \rightarrow r^2 dr \sin \theta d\theta d\phi$

$P(R) = \int \xi(r) r^2 dr \int_0^\pi e^{-iRr \cos \theta} \sin \theta d\theta \int_0^{2\pi} d\phi$
 o como $f(g) \cdot g$

veamos que $\frac{d}{d\theta} (e^{-iRr \cos \theta}) = e^{-iRr \cos \theta} \cdot (-iRr)(-\sin \theta)$
 $= e^{-iRr \cos \theta} \cdot iRr \sin \theta$

$\Rightarrow \frac{e^{-iRr \cos \theta}}{iRr} \Big|_0^\pi = \frac{e^{-iRr \cdot (-1)} - e^{-iRr \cdot 1}}{iRr} = \frac{\sin(Rr) \cdot 2i}{iRr}$

⇓

$$P(\vec{R}) = \int \zeta(\vec{r}) \cdot r^2 d\vec{r} \cdot \frac{m(RP)}{RN} \cdot 4\pi$$

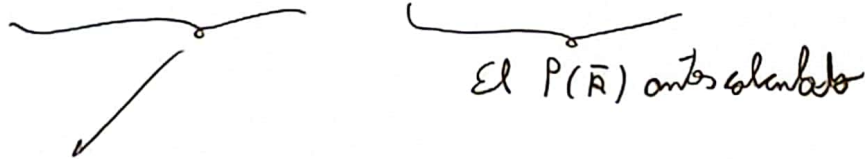
Ahora considerando el promedio de ensemble:

$$V \langle \delta(\vec{R}) \delta(\vec{R}')^* \rangle = \frac{1}{V} \int \langle \delta(\vec{x}) \delta(\vec{y}) \rangle e^{-i\vec{R} \cdot \vec{x} + i\vec{R}' \cdot \vec{y}} dV_x dV_y \quad / \quad \vec{r} = \vec{x} - \vec{y} \\ \Rightarrow dV_r = dV_x$$

$$= \frac{1}{V} \int \underbrace{\langle \delta(\vec{y}) \delta(\vec{y} + \vec{r}) \rangle}_{\propto \zeta(\vec{r})} e^{-i(\vec{R} - \vec{R}') \cdot \vec{y} - i\vec{R}' \cdot \vec{r}} dV_r dV_y$$

$$= \frac{1}{V} \int \zeta(\vec{r}) e^{-i(\vec{R} - \vec{R}') \cdot \vec{y} - i\vec{R}' \cdot \vec{r}} dV_r dV_y$$

$$= \frac{1}{V} \int e^{-i(\vec{R} - \vec{R}') \cdot \vec{y}} dV_y \int e^{-i\vec{R}' \cdot \vec{r}} \zeta(\vec{r}) dV_r$$



aquí en nuestra convención de Fourier $\Rightarrow \delta_D(\vec{R}) = (2\pi)^{-3} \int e^{i\vec{R} \cdot \vec{x}} d^3 \vec{x}$

en nuestro caso $\vec{R} \rightarrow \vec{R} - \vec{R}'$ y $\vec{x} \rightarrow \vec{y}$

$$= \frac{(2\pi)^3}{V} \cdot \delta_D(\vec{R} - \vec{R}') \cdot P(\vec{R})$$

y como $\delta(\vec{R}) = \delta^*(-\vec{R})$ por ser función R

$$V \langle \delta(\vec{R}) \delta(\vec{R}')^* \rangle = (2\pi)^3 V^{-1} P(\vec{R}) \cdot \delta_D(\vec{R} + \vec{R}')$$

ξ y P son útiles para entender el inicio y formación de las galaxias que hoy observamos y que componen la estructura a gran escala. Esto desde un punto de vista estadístico.

Dado que no podemos hacer experimentos o "otras realizaciones del universo" en cosmología, no podemos usar observaciones y análisis en estadística para entender cómo se forma y evoluciona nuestro universo. Aquí justamente ξ y su transformada de Fourier P contienen la información estadística de la materia observada. ξ nos dice cómo se correlacionan (a través de la gravedad) los distintos puntos observados, y P se puede relacionar directamente con la variación de las perturbaciones de materia, básicamente cómo se aglomera la materia a distintos escalas.

Así la evolución de P nos dice cómo se fueron formando y aglomerando las galaxias.

Además nos dan una forma de buscar las perturbaciones iniciales que vinieron del período de inflación y que se relacionan con la física del universo temprano.

Continuando con lo último mencionado también se pueden aplicar los BAO, que vienen de la interacción rad-mat en los inicios del universo y como estos afectaron posteriormente a la evolución y formación de las galaxias.

En resumen ξ y P son útiles pues nos dan información de cómo y a partir de qué física se formaron las galaxias.